

В.Л. Крупенин

Виброударные процессы в распределенных системах, оснащенных ограничителями хода, составленными из точки и прямой.

Учреждение Российской академии наук институт машиноведения  
им. А.А. Благодного РАН

1. В работах [1-12] теоретически и экспериментально изучались виброударные системы с параллельными ударными парами и (или) распределенными ударными элементами и, в частности, установлена возможность существования синхронных периодических режимов движения типа "хлопков". При их реализации пространственно удаленные части ударных элементов - сосредоточенных или распределенных - могут синхронно соударяться с соответствующими частями различного рода ограничителей, а профили стоячих волн оказываются изломанными. В то же время в работах [6, 9-14] изучались струны, взаимодействующие с точечными ограничителями хода, а в работе [14] результаты экспериментов с подобными системами.

Кроме того, предварительные эксперименты показали возможность существования волн иного вида в одно- и многомерных системах с ограничителями, форма которых отличается от идеальных точечной или прямолинейной. При этом возникает проблема оценки грубости моделей ограничителей. В рамках предлагаемого подхода могут быть исследованы вопросы перехода от одного вида волн к другому при изменении некоторых геометрических параметров препятствий: расположения плоских ограничителей относительно плоскости расположения струны и направления возбуждения; кривизна поверхности ограничителя, размеры и расположение дискретных ограничителей.

Ранее были обнаружены нелинейные стоячие волны, составленные из прямолинейных отрезков, в частности трапециевидные волны, при колебаниях распределенных систем с различного вида точечными, протяженными линейными и решетчатыми препятствиями. В реальных конструкциях точечные препятствия имеют определенные размеры, а протяженные ограничители отклонения от линейности и параллельности объекту. При этом, с одной стороны, возникает проблема оценки грубости моделей ограничителей, а с другой - проблема отыскания волн иных типов, например,

набегающих на ограничитель. Описание возможных видов сильно нелинейных волн, их структуры и переходов из одного вида в другой представляет фундаментальную задачу, частично рассматриваемую ниже. Рассматриваемый в данной работе ограничитель моделируется при помощи составного объекта, состоящего из упомянутых прямого и точечного ограничителей хода и поэтому именуется иногда «тавровым».

2. Рассмотрим струну, вибрирующую вблизи одно-таврового ограничителя хода (рис.1,а). Протяженная часть ограничителя параллельна оси статического равновесия струны.

Пусть искомым прогиб есть  $u(x,t)$ ;  $t \geq 0$ ,  $x \in [-1/2, 1/2]$ . Имеем:

$$u(x,t) \geq \Delta > -1; u(0,t) \geq \Delta_1 > \Delta; \quad (1)$$

При реализации здесь строгих неравенств система описывается линейным волновым уравнением  $\bullet u \equiv u_{tt} - u_{xx} = 0$ , где без ограничения общности приняты единичными погонная масса и натяжение. Граничные и начальные условия

$$u(-1/2,t) = u(1/2,t) = 0; u(x,0) = u_0(x); u_t(x,0) = 0, \quad (2)$$

предполагаются обеспечивающими существование и единственность решения задачи Коши для уравнения  $\bullet u = 0$ , по крайней мере, в обобщенном смысле [15]. Кроме того, имея в виду изучать стоячие волны в определенном смысле подобные первой форме колебаний, будем предполагать, что функция  $u_0(x)$  – унимодальная и четна на отрезке  $x \in [-1/2, 1/2]$  (рис.1,а). Приведем соотношения, описывающие взаимодействие струны с препятствием.

При достижении точками струны плоских частей ограничителя сохраняются условия, типа данных, например, [4, 11]: при  $x \neq 0$ , если  $u \leq 0$ , то  $\bullet u \geq 0$ . Оперирова с обобщенными решениями, потребуем, чтобы  $\text{supp } \bullet u \subset \{(x,t); x=0, |u(x,t)| = \Delta\}$ . Предполагается, что потери энергии при ударе не происходит, т.е. как и для линейной струны в смысле обобщенных функций  $(|u_x|^2 + |u_t|^2)_t = (2u_t u_x)_x$ . Это соотношение в данном, уже нелинейном случае постулируется и, в частности, выражает гипотезу взаимодействия, т.к. отсюда непосредственно следует аналог классической гипотезы об абсолютно упругом ударе:

$$u_t(x,t-0) = -u_t(x,t+0), (x,t) \in \text{supp } \bullet u; u(x,t) = \Delta; x \neq 0. \quad (3)$$

Вопрос о введении, каких-либо аналогов коэффициента восстановления оказывается связанным не только с типом распределенного ударного элемента [6], но и с типом устанавливаемой стоячей волны [3] и в настоящей статье не рассматривается.

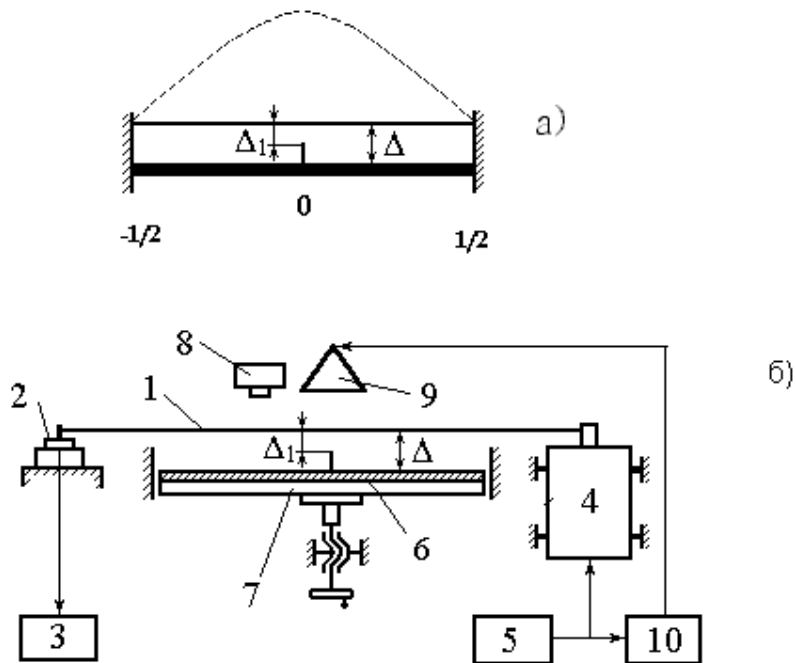


Рис.1

При взаимодействии с серединными частями ограничителей при  $x=0$  образуются временные выстои струны [10-14]. При этом во время выстоя на струну при  $u(0,t)=\Delta_1$  ( $t \in [t_k, \theta_k]$ ) действует сила реакции «точечной части» ограничителя  $R_k(t)$ , где  $t_k$  и  $\theta_k$  - моменты начала и конца выстоя;  $k$  -целочисленный индекс - здесь и везде отвечает некоему  $k$ -му взаимодействию.

Тогда, если записать обобщенную функцию  $\Phi_0[u]$ , символически выражающую силу ударного взаимодействия, она, будет представляться в виде двух обобщенных функций:  $\Phi_0[u]=\Phi_1[u]+\Phi_2[u]$ . Причем при  $n$ -м взаимодействии,  $\Phi_1[u]=J(x)\delta[t-t_n(x)]\gamma(x;\Delta)$ .Здесь  $J(x)$  –плотность ударного импульса,  $t_n(x)$  – распределение  $n$ -й «фазы» удара, определяемой в данном случае как решение уравнения  $u[x, t_n(x)] = \Delta$ , где  $x \neq 0$ ;

$\delta(t)$  -  $\delta$ -функция Дирака. Индикаторная функция  $\gamma(x;\Delta)=0$  при тех  $x$ , когда струна не взаимодействует с плоской частью ограничителя и  $\gamma(x;\Delta)=1$ , когда такое взаимодействие возможно.

Для второй составляющей силы взаимодействия в некоем  $j$ -м случае [ср. 13] имеем:  $\Phi_2[u]=R_j(t) \delta(x)[\eta(t-t_j) - \eta(t-\theta_j)]$ ,  $R_j(t)=u_x(-0,t) - u_x(+0,t) \geq 0$ ,  $t \in [t_j, \theta_j]$ , где  $\eta(t)$  – единичная функция Хевисайда. Анализируемая задача, следовательно, может быть записана в виде нелинейного уравнения типа Клейна – Гордона  $\bullet u - \Phi_0[u]=0$  с краевыми и начальными условиями (2).

Рассматривая консервативную нелинейную задачу, будем искать стоячие периодические волны некоторого периода  $T(E)=2\pi/\omega$  где  $\omega$  - частота вибрации струны;  $E$  – полная энергия системы. Воспользуемся методами частотно-временного анализа виброударных процессов [9,15] и перейдем к интегральному уравнению  $T$ -периодических колебаний

$$u(x,t) = \int_{0-1/2}^{T-1/2} \int \chi(x,y; t-s) \Phi_0[u(x,t-s)] ds dy; \quad (4)$$

При этом периодическая функция Грина (ПФГ) струны [13,15]  $\chi(x,y;t) = \sum_{n=1,2,\dots} \sin \pi n(x+1/2) \sin \pi n(z+1/2) \chi_n(t)$ ;  $n=1,2,\dots$  Здесь функции  $\chi_n(t)$  – «элементарные» ПФГ линейных осцилляторов с частотами, отвечающими спектру струны  $\{\Omega_n\} = \{2\pi n\}$ . При  $0 \leq t < T$  имеет место формула:  $\chi_n(t) = (2\Omega_n \sin 0,5\Omega_n T)^{-1} \cos[\Omega_n(t-0,5T)]$  [9, 15]. Внося представление для силы удара в (4), находим, предполагая, что за каждый период искомого периодического движения происходит лишь одно взаимодействие, представление искомого процесса. Обозначив  $\varphi(x)$  – распределение фазы удара, найдем

$$u(x,t) = \int_{-1/2}^{1/2} \int \gamma(y;\Delta) \chi(x,y;t-\varphi(y)) dy + \int_{t_1}^{t_1} R(s) \chi(x,0;t-s) ds, \quad (5)$$

3. Изучая волны с изломанными профилями, подобные упомянутому в п.1 «хлопкам», положим во втором начальном условии (3):  $u_0(x) = L(1-2|x|)$ , где  $L = \text{const} > 0$  - величина взаимно однозначно связанная с полной энергией  $E$ . В отсутствии ограничителей линейная струна совершает периодические колебания с периодом  $T_0=2$ .

Допустимые профили стоячих волн могут быть двух родов. Если начальный запас потенциальной энергии недостаточно велик и  $|\Delta_1| \leq L$ ,  $|\Delta| > L$ , то имеется стоячая волна, взаимодействующая только с выступом тавра – ситуация [10-14]. Если  $|\Delta_1| \leq |\Delta| \leq L^*$ , возможно двойное взаимодействие.

Первый случай рассматривается аналогично, например, работам [10-14]. Так, учитывая найденное в [10,13], имеем:  $t_1 = \frac{1}{2}(L - \Delta_1)L^{-1}$ ,  $\theta = 1$ ,  $R(s) = 4L$ . и период стоячей волны  $T \equiv T_1$  связан с «энергетическим параметром»  $L$  соотношением  $T_1 = \frac{1}{2}(3L - \Delta_1)L^{-1}$ . Соответственно  $L(\omega_1) = \Delta_1 \omega_1 (3\omega_1 - 4\pi)^{-1}$ ,  $\omega_1 = 2\pi/T_1$ . И, так как здесь  $\Delta_1 < 0$ , колебания возможны только, когда  $\pi < \omega_1 < \frac{4}{3}\pi$ . Причем первое неравенство следует из линейности системы при  $\omega_1 = \pi$ :  $L = -\Delta_1$ .

Для профилей второго рода  $T \equiv T_2 = 1 + 2|\Delta|L^{-1}$ . Соответственно  $L(\omega_2) = 2|\Delta|(\omega_2(2\pi - \omega_2))^{-1}$ ; колебания возможны, когда  $\omega_0 < \omega_2 < 2\pi$ , где  $\omega_0$  – частота свободных колебаний, отвечающая возникновению хлопков (достижению участками струны плоской части таврового ограничителя). Очевидно, значение  $\omega_0 = 8\pi|\Delta|(2|\Delta| - |\Delta_1|)^{-1}$ . Таким образом, для данной нелинейной системы получаем полуинтервал «собственных частот» [9,15]  $\Lambda = \{\omega \mid \omega \in [\pi, 2\pi)\}; \omega = 2\pi/T$ .

Необходимые для нахождения искомой стоячей волны параметры трехфункционального представления (5) определяются рутинно. Для волн первого типа задача фактически решена в [13]. Это решение имеет вид  $u(x,t) = B_{o2}(L; x, t) = 8L \sum D_k(t_0; \omega_1; t - \varphi) \sin k\pi(x + \frac{1}{2})$ , причем здесь и далее суммирование ведется по положительным целочисленным индексам;  $D_k(t_0; \omega_1; t) - T_1$ -периодическая легко вычисляемая функция [13]

Для волн второго типа после преобразований приходим к представлению вида:  $u(x,t) = B_{o1}(L; x, t - \varphi_0) + B_{o2}(L; x, t)$ ,  $\varphi_0 = 1 + |\Delta|L$ . Здесь функция  $B_{o2}$  имеет вид подобный данному выше, однако параметры, определяющие пределы интегрирования в (5) (время выстоя) становятся зависящими еще и от значения зазора  $\Delta$ ;  $B_{o1}(L; x, t - \varphi_0) = 8L(\pi^2 n)^{-1} \hat{a} \chi_n(t - \varphi_0) \sin^{1/2} \pi n(b + d + 1/2) \sin^{1/2} \pi n b \sin \pi n(x - 1/2)$ , где фигурируют числа  $b$  и  $d$ , определяемые геометрическими параметрами  $\Delta$  и  $\Delta_1$ , а также энергетическим параметром  $L$ ;  $J(y) = 4L$ .

4. Обозначив найденное решение  $W(L; x, t)$ , перейдем к рассмотрению задачи с более общими начальными условиями (2):  $u(x,0) = u_0(x)$ ;  $u_t(x,0) = 0$ , где функция  $u_0(x)$  предполагается четной и унимодальной на отрезке  $x \in [-1/2; 1/2]$  (см. п.1).

Будем искать решение (см. [8, 10-13]) общей задачи в виде:  $u(x,t)=W[L;y_1(x,t);y_2(x,t)]$ , где  $y_{1,2}(x,t)=g(x+t)\pm g(x-t)$ . Не ограничивая общности, примем,  $L=1$ . Зависящая, в частности, от начальных и граничных условий функция  $g(x)$  подлежит определению в два шага.

1) Положим  $g(x)=\frac{1}{2}[1-u_0(x)]$ ,  $0\leq x\leq\frac{1}{2}$ ;  $g(x)=0$ ,  $x=0$ ,  $g(x)=\frac{1}{2}[u_0(x)-1]$ ,  $\frac{1}{2}\leq x\leq 0$ .

2) доопределим функцию  $g(x)$ , исходя из двух соотношений:  $g(x+1)=\frac{1}{2} - g(-x)$ ,  $g(x+2)=1 + g(x)$ ,  $x\in\mathbb{R}$ . Эти преобразования трансформируют унимодальную на отрезке  $[-\frac{1}{2}; \frac{1}{2}]$  четную функцию  $u_0(x)$  в нечетную монотонно возрастающую на всей числовой оси функцию  $g(x)$ .

При этом если, например  $u_0(x)\in C^2[-\frac{1}{2}; \frac{1}{2}]$ , то легко показать, что  $g(x)\in C^2(\mathbb{R}^1)$ . Также показывается, что  $-\frac{1}{2}\leq y_1(x,t) \leq \frac{1}{2}$  и, кроме того,  $y_1(x,t+2)=y_1(x,t)$ ;  $y_2(x,t+2)=y_2(x,t)+2$ . То есть функция  $y_1$  – периодична с периодом колебаний линейной струны  $T_0=2$ , а функция  $y_2$  – эволюционирует.

Учитывая определение функций  $g$  и  $y_{1,2}$ , легко установить, что представление  $u=W$  удовлетворяет исходному уравнению  $\bullet u-\Phi_0[u]=0$ , то есть всем сформулированным в п.2 условиям взаимодействия, а также конфигурационным ограничениям (1) и начальным и граничным условиям (2) (ср. [4]).

Подставив представление  $u=W$  (здесь  $L=1!$ ) в исходное уравнение Клейна-Гордона (10), найдем, после ряда преобразований, имея в виду, что сумма или разность двух бегущих волн удовлетворяют линейному волновому уравнению:  $2g'(x+t)g'(x-t)\bullet w-\Phi_0[w(y_1, y_2)]=0$ . При этом с учетом возрастания функции  $g(x)$  и справедливости второго неравенства (1) для решения  $W(x,t)$  получаем, что при  $W\leq 0$ :  $\bullet W\geq 0$  при любых допустимых значениях аргументов функции  $W$ ; совершенно аналогично проверяется выполнение и других условий п.2. Например,  $R_0=8g'(t)>0$ .

Итак, формула  $u=W$  действительно определяет искомый процесс, так как предположение  $L=1$  никак не ограничивает общности рассуждений. Структура такого решения всецело определяется структурой приведенных выше представляющих рядов  $V_{01}$  и  $V_{02}$ , то есть решение строится как ряд, каждый член которого суть произведение  $T$ -периодической функции времени  $Q_{1k}$ , множимой на некоторую функцию  $Q_{2k}$  координаты  $x$ :  $u(x,t)=w[L;y_1(x,t);y_2(x,t)]=\sum Q_{1k}[L; y_1(x,t)]Q_{2k}[L;y_2(x,t)]$ . Все функции  $Q_{1k}$  –  $T$ - периодичны по переменной  $y_1$  и в то же время  $y_1(x,t+2)\equiv y_1(x,t)$ ;  $y_2(x,t+2)\equiv y_2(x,t) + 2$ . Период (см. п.3)  $T=T_1=\frac{1}{2}(3L-\Delta_1)L^{-1}$ , при  $|\Delta_1|\leq L$ ,  $|\Delta_1|>L$  и  $T=T_2=1+2|\Delta|L^{-1}$ , при  $|\Delta_1|\leq|\Delta|\leq L$ . Для того, чтобы последний ряд определял бы периодический процесс необходимо и

достаточно, чтобы величины  $T$  и  $T_0=2$  были бы соизмеримы. Таким образом, изучаемая нами задача может иметь периодическое решение тогда и только тогда, когда период  $T$  дается рациональным числом. В остальных случаях решение оказывается почти периодическим (ср.[8, 10-13]).

При посредстве методов частотно-временного анализа совершенно аналогично могут быть изучены и другие случаи. Такие, например, как случай ограничителя хода, содержащего тавр по обе стороны струны, а также различные сочетания типов ограничителей. Кроме того, возможно построение решений и для систем с малыми неконсервативными силами.

б. На рис. 1, б показана схема экспериментального стенда «Аллигатор-Тавр». Здесь тавровый ограничитель б выполненный из гетинакса установлен на каретке 7, перемещаемой микрометрическим винтом, при помощи которого можно изменять значение установочного зазора  $\Delta$ . В качестве распределенного упругого элемента в экспериментальной установке использован резиновый жгут 1. Стоячие волны визуализировались при помощи стробоскопического анализатора движения 10, вспышки лампы 9 которого синхронизировались от управляющего генератора. Проведенные эксперименты находятся в удовлетворительном согласии со сделанными выше выводами.

Были визуализированы стоячие периодические волны только двух описанных выше типов. Волны первого типа наблюдались после прохождения линейного резонанса и не отличались от описанных в [14]. Волны второго типа возникали после увеличения амплитуды возбуждения, при увеличении частоты возбуждения (затягивание по частоте), при увеличении зазора  $\Delta$  (затягивание по амплитуде).



Фотоизображение характерного профиля струны при  $f=27,3$  Гц (выполнено А.И. Стернинным) дано на рис. 2. Здесь было выбрано:  $\Delta_1=20$  мм;  $\Delta=25$  мм. С помощью данной установки, как и обычно, для режимов с трапециевидными профилями (хлопков) регистрировались динамические эффекты, характерные для «ударных осцилляторов» [3, 4, 9, 14, 15]. Вместе с тем регистрировались и непериодические волны более сложной природы.

Работа выполнена при поддержке Российского фонда фундаментальных исследований (проект № 01-01-00297).

#### Литература

1. Amerio L., Prouse G. //Rend. di Mat. Ser. 6(8). 1975. N.2. P. 563-585.
2. Крупенин В.Л. // Изв. АН СССР, МТТ. 1986, N1. С. 25-32.
3. Веприк А.М., Крупенин В.Л. //Машиноведение. 1988. № 6. С. 39-47.
4. Крупенин В.Л. // ДАН СССР, 1990, т.313, N6, с. 1390-1394.
5. Krupenin V.L., Veprik A.M. // Proceedings of the 2-nd European Nonlinear Oscillations Conference. V.1. Czech Prague: CTU, 1996, pp. 229-234.
6. Асташев В.К., Крупенин В.Л. // Проблемы машиностроения и надежности машин. 1998, № 5, с. 13-30.
7. Krupenin V.L. // Dynamics of Vibro-impact systems. Proceeding of the Euromech Colloquium 15-18 September 1998. Berlin-Heidelberg-NY, Springer-Verlag. 1999, pp.39-48.
8. Крупенин В.Л. // Проблемы машиностроения и надежности машин, 1997, № 3. С. 20-25.
9. Babitsky V.L., Krupenin V.L. Vibration of Strongly Nonlinear Discontinuous Systems, Berlin-Heidelberg-NY, Springer-Verlag. 2001, 400 p.
10. Cabbanes H., Haraus A. // I.J. Non-linear Mechanics. 1981, V.55, №5/6, p.p. 449-457.
11. Cabannes H // Acustica,. 1984, V.55, p.p. 14-20.
12. . Citrini C, Marchionna C. // Eur. J. Mech., A/Solids, **8**, n° 1,1989, p.p. 73-85.
13. Крупенин В.Л. // Проблемы машиностроения и надежности машин. 1992, №2, с.29-36.
14. Асташев В.К., Крупенин В.Л.// ДАН, 2001, Т.379, №3, с.23-27.
15. Крупенин В.Л. // ДАН, 2003, т.388, №3, С.1-5.
16. Бабицкий В.И., Крупенин В.Л. Колебания в сильно нелинейных системах. М.: Наука. 1985. 320 с.